

Simulación de Trayectoria de Cohete 1-DoF — Reporte Técnico

- **Autor:** Pérez Castro Luis Ángel
- **Equipo:** Propulsión UNAM
- **Fecha:** 2025-08-31

Resumen

Se presenta una simulación de trayectoria vertical con **un grado de libertad (1-DoF)** implementada en Python. El modelo integra **altitud**, **velocidad** y **masa** mediante **Euler hacia adelante** e incluye **empuje**, **arrastre aerodinámico** y **gravedad**. Con los parámetros especificados en el enunciado 1-DoF (masa seca 2.2 kg, propelente 0.625 kg, $C_D=0.75$, $D=0.086\text{ m}$, $\rho=1\text{ kg/m}^3$, $g=9.78\text{ m/s}^2$, $u_e=960\text{ m/s}$), los resultados principales fueron:

- **MECO:** $t=2.00\text{ s}$, $h=192.73\text{ m}$, $V=165.19\text{ m/s}$
- **Apogeo:** $t=12.55\text{ s}$, $h=872.34\text{ m}$
- **Atterrizaje:** $t=27.83\text{ s}$
- **Máximos:** $h_{\max}=872.34\text{ m}$, $V_{\max}=167.53\text{ m/s}$, $a_{\max}=101.35\text{ m/s}^2$

El comportamiento de las curvas concuerda con la física esperada: fuerte aceleración en la fase propulsada, **vuelo balístico** tras MECO con reducción de velocidad por arrastre, y descenso con aceleración de magnitud inferior a g por la acción del arrastre.

1. Introducción

El simulador 1-DoF es una herramienta de diseño para estimar el desempeño antes del vuelo, integrando conceptos de **Propulsión**, **Aeroestructuras** y **Aviónica**. La formulación sigue las notas unificadas del MIT para cálculo de trayectorias y los parámetros del enunciado de Propulsión UNAM.

Los objetivos fueron:

- Implementar un integrador robusto para las EDO
- Generar gráficas y métricas solicitadas (MECO, apogeo, máximos)
- Documentar la metodología y las conclusiones físicas.

2. Modelo físico-matemático

- **Variables de estado:** $h(t)$ (altitud), $V(t)$ (velocidad), $m(t)$ (masa).
- **Fuerzas:** gravedad, arrastre aerodinámico y empuje.

2.1 Ecuaciones (formulación MIT)

$\dot{h} = V$

$$\dot{V} = -g; -\frac{1}{2}\frac{\rho V|V|C_D A}{m}; +\frac{V}{|V|}\frac{\dot{m}_{\text{fuel}}}{m} u_e$$

$$\dot{m} = -\dot{m}_{\text{fuel}}$$

El uso de $V/|V|$ y $V/|V|$ hace consistente el signo del arrastre y del empuje en ascenso y descenso dentro del modelo académico 1-DoF.

2.2 Definiciones de fuerzas y datos del motor

$$D = \frac{1}{2}\rho V^2 C_D A, \quad T = \dot{m}_{\text{fuel}} u_e, \quad W = mg, \quad a = \dot{V} = \frac{F}{m}.$$

Con $u_e = 960 \text{ m/s}$ y la curva $\dot{m}_{\text{fuel}}(t)$ del enunciado, el empuje es:

$$T(t) = \dot{m}_{\text{fuel}}(t) u_e.$$

Interpolación de la curva de gasto másico. Dadas muestras $\{(t_k, \dot{m}_k)\}_{k=0}^N$, se usa interpolación lineal a trozos:

$$\dot{m}_{\text{fuel}}(t) = \begin{cases} \dot{m}_k + \frac{\dot{m}_{k+1} - \dot{m}_k}{t_{k+1} - t_k} (t - t_k), & t_k \leq t < t_{k+1}, \\ 0, & \text{en otro caso.} \end{cases}$$

En tiempo discreto t_i :

$$T_i = \dot{m}_{\text{fuel},i} u_e, \quad m_{i+1} = m_i - \dot{m}_{\text{fuel},i} \Delta t,$$

y se fuerza $\dot{m}_{\text{fuel},i} = 0$ cuando $m_i \leq m_{\text{dry}}$ (MECO por agotamiento de propelente).

3. Método numérico

Se emplea **Euler hacia adelante** con paso constante Δt .

3.1 Discretización

$$h_{i+1} = h_i + V_i \Delta t$$

$$V_{i+1} = V_i + \left(-g - \frac{1}{2} \frac{\rho V_i |V_i| C_D A}{m_i} + \frac{V_i}{|V_i|} \frac{\dot{m}_{\text{fuel},i} u_e}{m_i} \right) \Delta t$$

$$m_{i+1} = m_i - \dot{m}_{\text{fuel},i} \Delta t, \quad t_{i+1} = t_i + \Delta t.$$

3.2 Detección de eventos (interpolación lineal)

- **MECO (fin de combustión).** Si $m_i > m_{\text{dry}}$ y $m_{i+1} \leq m_{\text{dry}}$:

$$\theta_{\text{MECO}} = \frac{m_i - m_{\text{dry}}}{m_i - m_{i+1}}, \quad t_{\text{MECO}} = t_i + \theta_{\text{MECO}} \Delta t.$$

$$h_{\text{MECO}} \approx h_i + \theta_{\text{MECO}} (h_{i+1} - h_i), \quad V_{\text{MECO}} \approx V_i + \theta_{\text{MECO}} (V_{i+1} - V_i).$$

- **Apogeo (primer cruce por cero de V tras el ascenso).** Si $V_i > 0$ y $V_{i+1} \leq 0$:

$$\theta_{\text{apo}} = \frac{V_i}{V_i - V_{i+1}}, \quad$$

$$t_{\text{apo}} = t_i + \theta_{\text{apo}} \Delta t, \quad$$

$$h_{\text{apo}} \approx h_i + \theta_{\text{apo}} (h_{i+1} - h_i).$$

- **Aterrizaje (cruce de $h=0$).** Si $h_i > 0$ y $h_{i+1} \leq 0$:

$$\theta_{\text{td}} = \frac{h_i}{h_i - h_{i+1}}, \quad$$

$$t_{\text{td}} = t_i + \theta_{\text{td}} \Delta t.$$

3.3 Verificación por refinamiento de malla

Se repite la simulación con $\Delta t/2$ y se compara la discrepancia relativa

$$E_{\text{rel}}(y) = \frac{\max_t |y_{\Delta t}(t) - y_{\Delta t/2}(t)|}{\max_t |y_{\Delta t/2}(t)|} \leq \epsilon, \quad \epsilon \sim 10^{-9},$$

reduciendo Δt hasta lograr $E_{\text{rel}}(y) < 1\%$ en trazas clave.

4. Entradas y condiciones iniciales

- **Ambiente:** $g = 9.78 \text{ m/s}^2$, $\rho = 1.0 \text{ kg/m}^3$.
- **Vehículo:** $m_{\text{dry}} = 2.2 \text{ kg}$, $m_{\text{prop}} = 0.625 \text{ kg}$, $C_D = 0.75$, diámetro $D = 0.086 \text{ m}$ (8.6 cm). Área frontal: $A = \pi(D/2)^2 \approx 5.81 \times 10^{-3} \text{ m}^2$.
- **Motor:** $u_e = 960 \text{ m/s}$; $\dot{m}_{\text{fuel}}(t)$ de la curva del enunciado.
- **Condiciones iniciales:** $h_0 = 0 \text{ m}$, $V_0 = 0 \text{ m/s}$, $m_0 = m_{\text{dry}} + m_{\text{prop}} = 2.825 \text{ kg}$.
- **Parámetros numéricos:** $\Delta t = 0.01 \text{ s}$; $t_{\text{max}} = 60 \text{ s}$ o hasta **aterrizaje**.

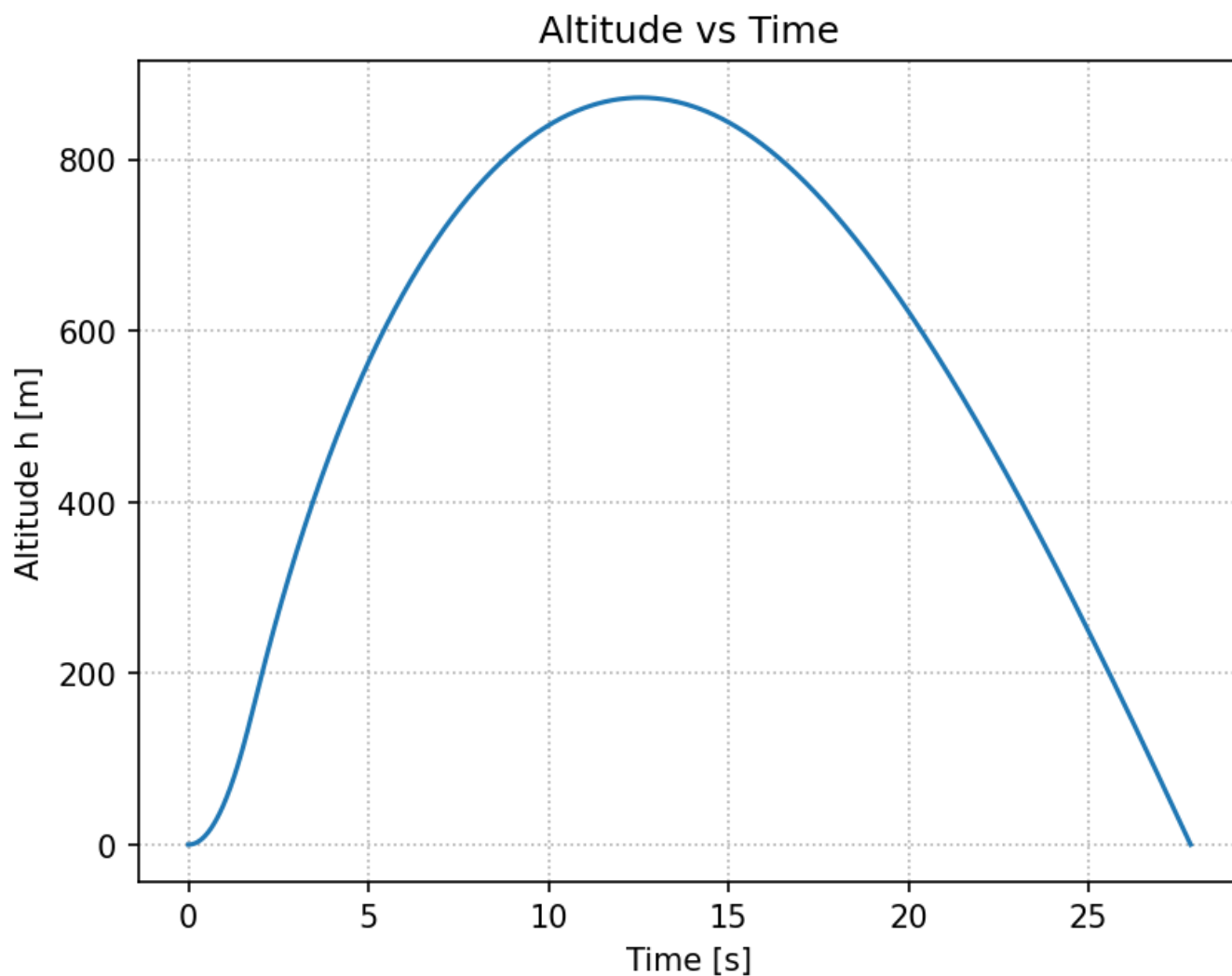
5. Resultados

5.1 Métricas principales

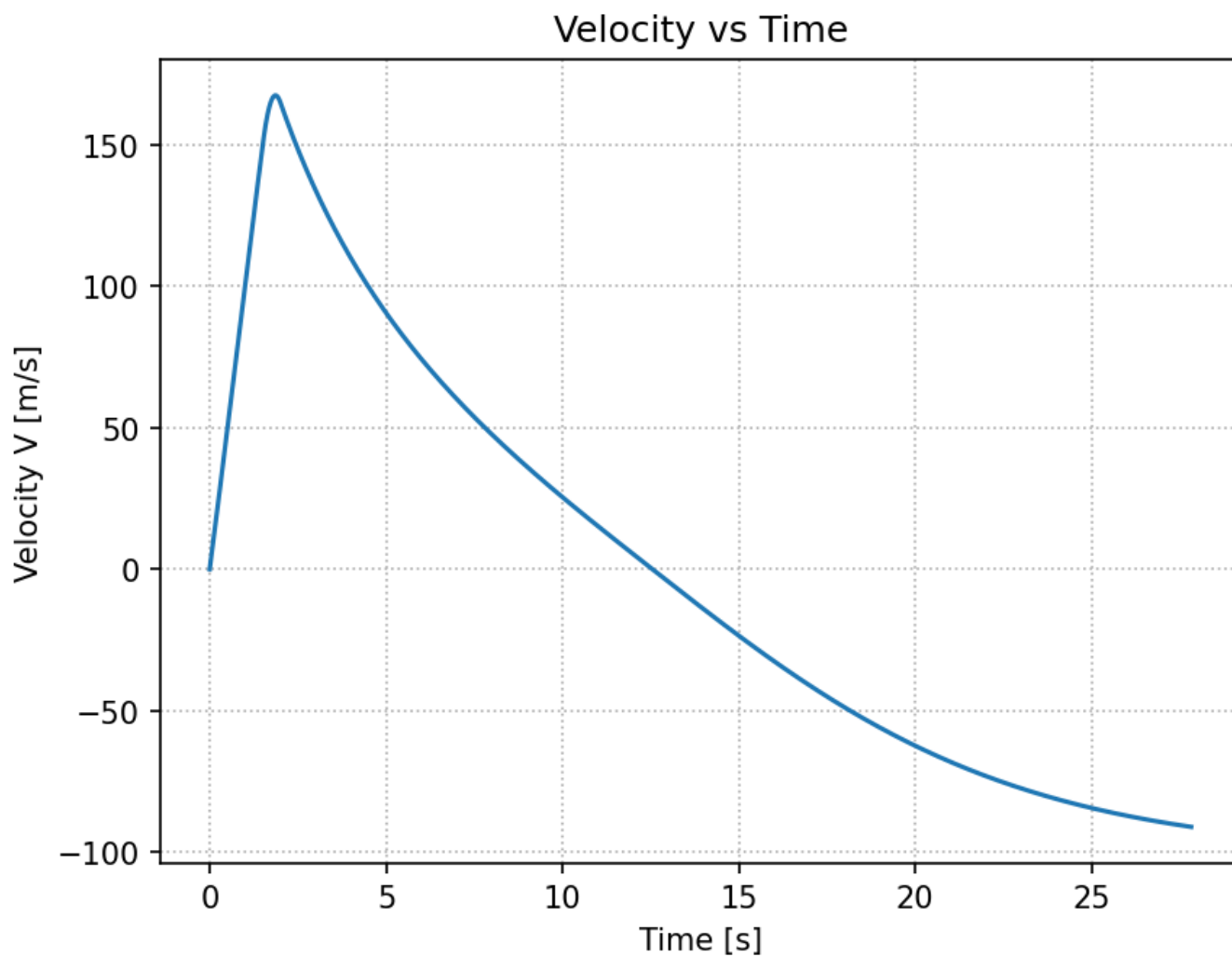
- **MECO:** $t = 2.00 \text{ s}$, $h = 192.73 \text{ m}$, $V = 165.19 \text{ m/s}$
- **Apogeo:** $t = 12.55 \text{ s}$, $h = 872.34 \text{ m}$
- **Aterrizaje:** $t = 27.83 \text{ s}$
- **Máximos:** $h_{\text{max}} = 872.34 \text{ m}$, $V_{\text{max}} = 167.53 \text{ m/s}$, $a_{\text{max}} = 101.35 \text{ m/s}^2$
- **Tiempo total de vuelo:** 27.83 s

5.2 Interpretación de las curvas

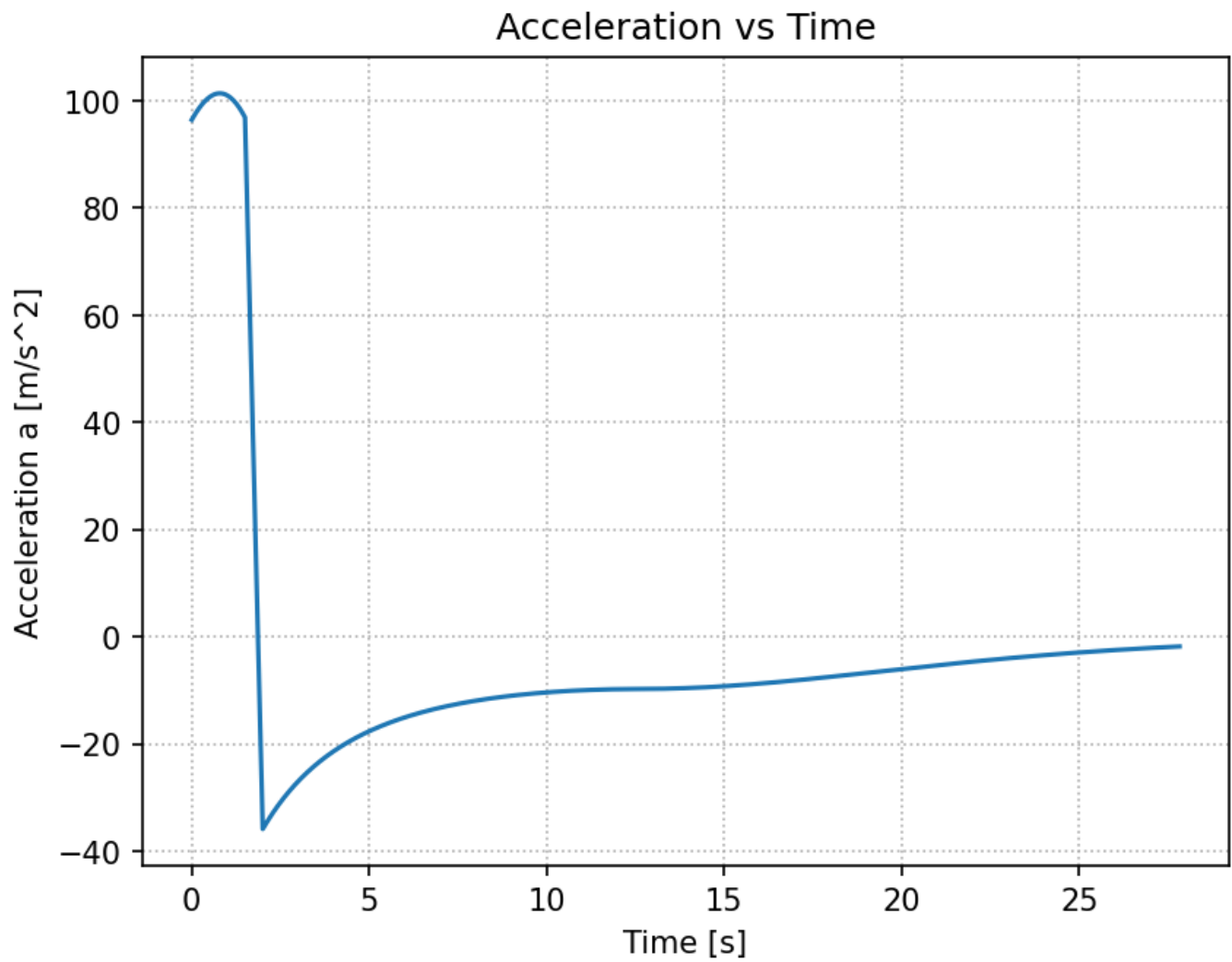
- **Altitud vs tiempo.** Ascenso pronunciado durante la combustión; tras MECO el cohete entra en **coast** balístico hasta apogeo; descenso posterior con pendiente creciente en magnitud por la aceleración gravitatoria parcialmente compensada por el arrastre.



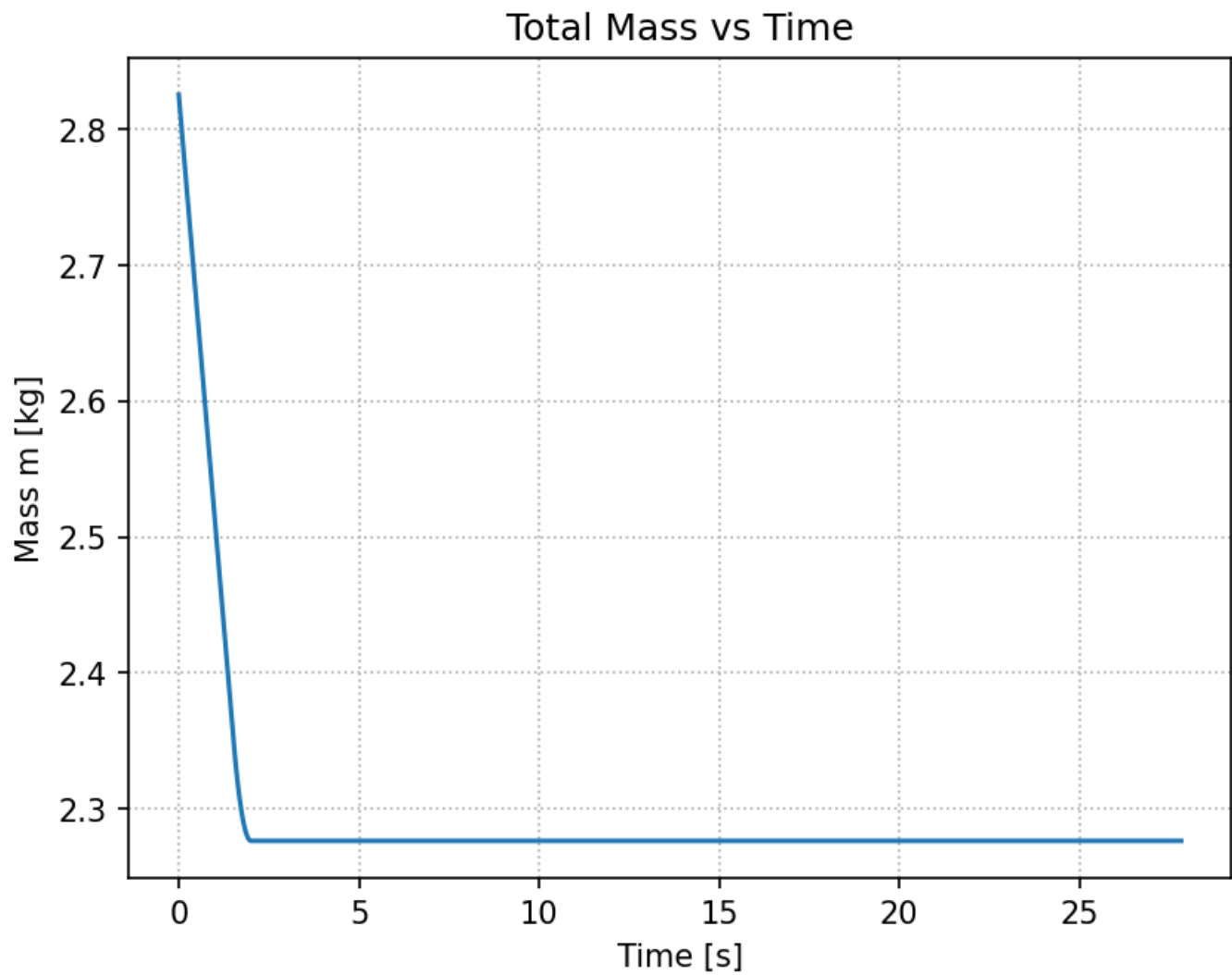
- **Velocidad vs tiempo.** Incremento rápido hasta un máximo cercano al fin de combustión; luego decrece por arrastre hasta cruzar $V=0$ en apogeo; se hace negativa en descenso.



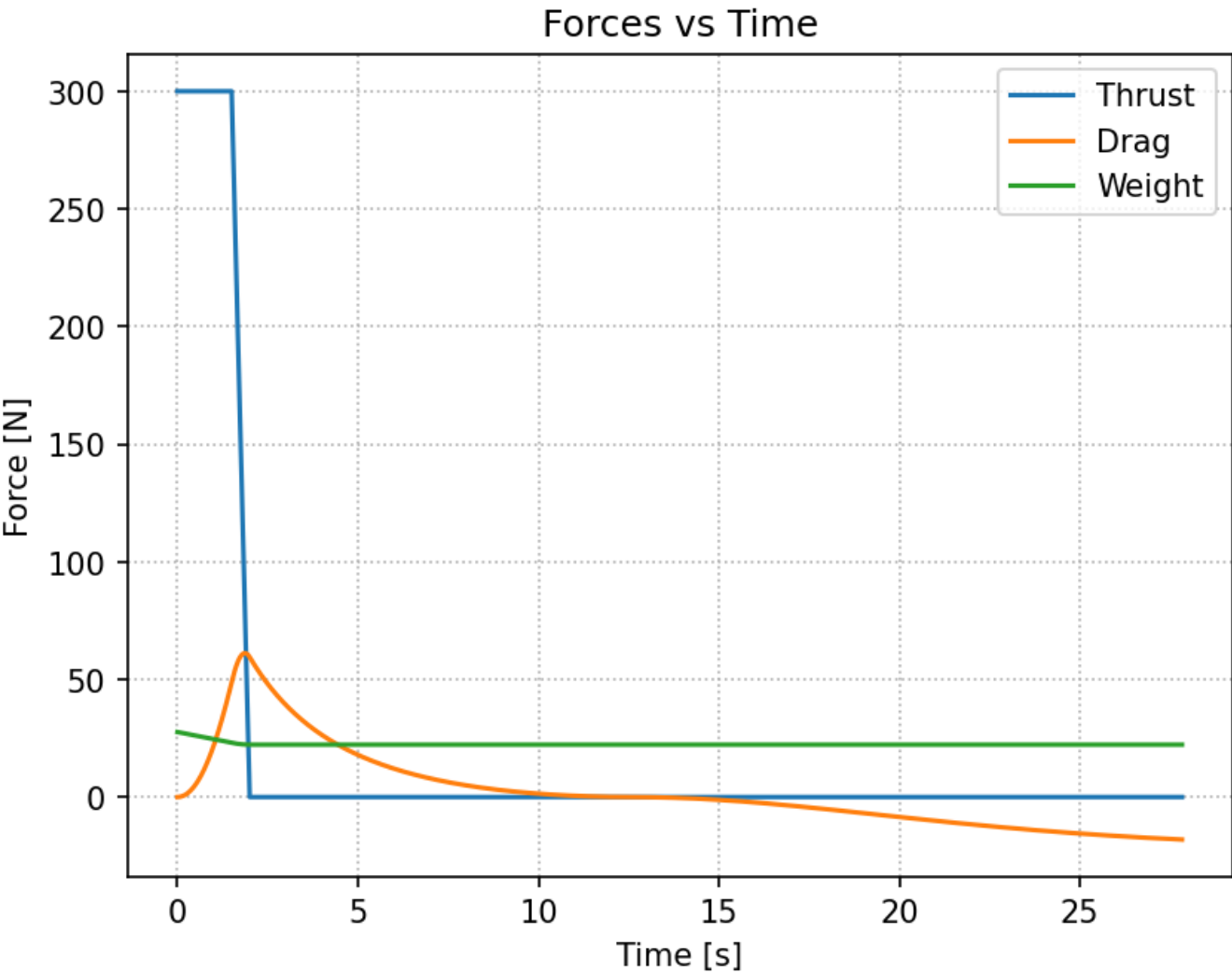
- **Aceleración vs tiempo.** Picos durante el encendido (máxima relación empuje/peso), caída brusca al terminar la combustión; durante el coast la aceleración tiende a $-g$ y en descenso su magnitud es menor que g por el arrastre hacia arriba.



- **Masa vs tiempo.** Disminuye linealmente durante la combustión y queda constante tras MECO.



- **Fuerzas.** El empuje sigue la curva $\dot{m} u_e$; el arrastre crece con V^2 y domina a altas velocidades; el peso decrece levemente durante la combustión por la pérdida de masa.



6. Discusión

- **Intuición física.** El desempeño está gobernado por la relación empuje/peso durante la combustión y por el arrastre durante la fase balística.
- **Sensibilidades.** Disminuir C_D o el diámetro (por tanto A) incrementa el apogeo; aumentar u_e o el flujo másico \dot{m} eleva V_{\max} y la altura alcanzada.
- **Precisión numérica.** El esquema de Euler es consistente; el refinamiento de malla con $\Delta t/2$ produce cambios pequeños en $h(t)$ y $V(t)$, validando la resolución elegida.
- **Limitaciones.** Atmósfera de densidad constante y C_D constante.

7. Conclusiones

Con los parámetros del documento, el cohete alcanza aproximadamente **0.87 km** de apogeo. El perfil temporal de altitud, velocidad, aceleración y fuerzas es coherente con la teoría: empuje dominante al inicio, **coast** balístico tras MECO y descenso moderado por arrastre. El simulador 1-DoF implementado satisface los requisitos de la actividad.

Referencias

1. MIT Unified Engineering — *Trajectory Calculation (Lab 2 Lecture Notes)*.
 2. Propulsión UNAM — *Actividad 1-DoF — Reclutamiento: entregables y parámetros*.
 3. Documentación completa en mi repositorio: [1DoF](#)
-

Apéndice A. Nomenclatura

t tiempo; h altitud; V velocidad; F fuerza total; D arrastre; T empuje; g gravedad; m masa; C_D coeficiente de arrastre; A área de referencia; ρ densidad del aire; \dot{m}_{fuel} gasto másico de propelente; u_e velocidad de eyección; Δt paso de tiempo.